

# Starkniederschlagshöhen und -spenden gemäß KOSTRA-DWD-2020

## Rasterfeld 214190

(Zeile 214, Spalte 190)

### Regenspende und Bemessungsniederschlagswerte in Abhängigkeit von Wiederkehrzeit T und Dauerstufe D

| Dauerstufe D |     | Wiederkehrzeit T |            |       |            |       |            |       |            |       |            |       |            |       |            |       |            |       |            |
|--------------|-----|------------------|------------|-------|------------|-------|------------|-------|------------|-------|------------|-------|------------|-------|------------|-------|------------|-------|------------|
|              |     | 1 a              |            | 2 a   |            | 3 a   |            | 5 a   |            | 10 a  |            | 20 a  |            | 30 a  |            | 50 a  |            | 100 a |            |
| min          | Std | mm               | l / (s ha) | mm    | l / (s ha) | mm    | l / (s ha) | mm    | l / (s ha) | mm    | l / (s ha) | mm    | l / (s ha) | mm    | l / (s ha) | mm    | l / (s ha) | mm    | l / (s ha) |
| 5            |     | 8,0              | 266,7      | 10,0  | 333,3      | 11,3  | 376,7      | 12,9  | 430,0      | 15,2  | 506,7      | 17,7  | 590,0      | 19,2  | 640,0      | 21,3  | 710,0      | 24,3  | 810,0      |
| 10           |     | 10,7             | 178,3      | 13,3  | 221,7      | 15,0  | 250,0      | 17,2  | 286,7      | 20,3  | 338,3      | 23,5  | 391,7      | 25,6  | 426,7      | 28,3  | 471,7      | 32,3  | 538,3      |
| 15           |     | 12,5             | 138,9      | 15,6  | 173,3      | 17,5  | 194,4      | 20,0  | 222,2      | 23,7  | 263,3      | 27,4  | 304,4      | 29,9  | 332,2      | 33,1  | 367,8      | 37,7  | 418,9      |
| 20           |     | 13,9             | 115,8      | 17,3  | 144,2      | 19,5  | 162,5      | 22,3  | 185,8      | 26,3  | 219,2      | 30,5  | 254,2      | 33,2  | 276,7      | 36,8  | 306,7      | 41,9  | 349,2      |
| 30           |     | 16,1             | 89,4       | 20,0  | 111,1      | 22,5  | 125,0      | 25,8  | 143,3      | 30,5  | 169,4      | 35,3  | 196,1      | 38,4  | 213,3      | 42,6  | 236,7      | 48,5  | 269,4      |
| 45           |     | 18,5             | 68,5       | 23,1  | 85,6       | 26,0  | 96,3       | 29,7  | 110,0      | 35,1  | 130,0      | 40,7  | 150,7      | 44,4  | 164,4      | 49,1  | 181,9      | 56,0  | 207,4      |
| 60           | 1   | 20,5             | 56,9       | 25,6  | 71,1       | 28,7  | 79,7       | 32,9  | 91,4       | 38,9  | 108,1      | 45,0  | 125,0      | 49,1  | 136,4      | 54,3  | 150,8      | 61,9  | 171,9      |
| 90           | 1,5 | 23,6             | 43,7       | 29,4  | 54,4       | 33,1  | 61,3       | 37,8  | 70,0       | 44,7  | 82,8       | 51,8  | 95,9       | 56,4  | 104,4      | 62,5  | 115,7      | 71,2  | 131,9      |
| 120          | 2   | 26,0             | 36,1       | 32,5  | 45,1       | 36,5  | 50,7       | 41,8  | 58,1       | 49,4  | 68,6       | 57,2  | 79,4       | 62,3  | 86,5       | 69,0  | 95,8       | 78,6  | 109,2      |
| 180          | 3   | 29,9             | 27,7       | 37,3  | 34,5       | 41,9  | 38,8       | 48,0  | 44,4       | 56,7  | 52,5       | 65,7  | 60,8       | 71,6  | 66,3       | 79,3  | 73,4       | 90,3  | 83,6       |
| 240          | 4   | 33,0             | 22,9       | 41,2  | 28,6       | 46,3  | 32,2       | 52,9  | 36,7       | 62,5  | 43,4       | 72,5  | 50,3       | 79,0  | 54,9       | 87,5  | 60,8       | 99,6  | 69,2       |
| 360          | 6   | 37,8             | 17,5       | 47,3  | 21,9       | 53,1  | 24,6       | 60,8  | 28,1       | 71,8  | 33,2       | 83,2  | 38,5       | 90,6  | 41,9       | 100,4 | 46,5       | 114,4 | 53,0       |
| 540          | 9   | 43,4             | 13,4       | 54,2  | 16,7       | 60,9  | 18,8       | 69,7  | 21,5       | 82,4  | 25,4       | 95,4  | 29,4       | 104,0 | 32,1       | 115,2 | 35,6       | 131,3 | 40,5       |
| 720          | 12  | 47,9             | 11,1       | 59,8  | 13,8       | 67,2  | 15,6       | 76,9  | 17,8       | 90,8  | 21,0       | 105,2 | 24,4       | 114,7 | 26,6       | 127,0 | 29,4       | 144,7 | 33,5       |
| 1080         | 18  | 54,9             | 8,5        | 68,6  | 10,6       | 77,1  | 11,9       | 88,2  | 13,6       | 104,2 | 16,1       | 120,7 | 18,6       | 131,5 | 20,3       | 145,7 | 22,5       | 166,0 | 25,6       |
| 1440         | 24  | 60,6             | 7,0        | 75,6  | 8,8        | 85,0  | 9,8        | 97,2  | 11,3       | 114,9 | 13,3       | 133,1 | 15,4       | 145,0 | 16,8       | 160,6 | 18,6       | 183,0 | 21,2       |
| 2880         | 48  | 76,6             | 4,4        | 95,6  | 5,5        | 107,4 | 6,2        | 122,9 | 7,1        | 145,2 | 8,4        | 168,3 | 9,7        | 183,4 | 10,6       | 203,1 | 11,8       | 231,4 | 13,4       |
| 4320         | 72  | 87,8             | 3,4        | 109,7 | 4,2        | 123,2 | 4,8        | 141,0 | 5,4        | 166,6 | 6,4        | 193,0 | 7,4        | 210,3 | 8,1        | 233,0 | 9,0        | 265,5 | 10,2       |
| 5760         | 96  | 96,8             | 2,8        | 120,9 | 3,5        | 135,8 | 3,9        | 155,4 | 4,5        | 183,6 | 5,3        | 212,8 | 6,2        | 231,8 | 6,7        | 256,8 | 7,4        | 292,6 | 8,5        |
| 7200         | 120 | 104,4            | 2,4        | 130,4 | 3,0        | 146,5 | 3,4        | 167,6 | 3,9        | 198,0 | 4,6        | 229,4 | 5,3        | 250,0 | 5,8        | 276,9 | 6,4        | 315,5 | 7,3        |
| 8640         | 144 | 111,0            | 2,1        | 138,7 | 2,7        | 155,8 | 3,0        | 178,3 | 3,4        | 210,6 | 4,1        | 244,0 | 4,7        | 265,9 | 5,1        | 294,6 | 5,7        | 335,6 | 6,5        |
| 10080        | 168 | 117,0            | 1,9        | 146,1 | 2,4        | 164,1 | 2,7        | 187,8 | 3,1        | 221,9 | 3,7        | 257,1 | 4,3        | 280,1 | 4,6        | 310,3 | 5,1        | 353,6 | 5,8        |

# Starkniederschlagshöhen und -spenden gemäß KOSTRA-DWD-2020

## Rasterfeld 214190

(Zeile 214, Spalte 190)

### Örtliche Unsicherheiten in Abhängigkeit von Wiederkehrzeit T und Dauerstufe D

| Dauerstufe D |     | Wiederkehrzeit T |     |     |     |      |      |      |      |       |
|--------------|-----|------------------|-----|-----|-----|------|------|------|------|-------|
|              |     | 1 a              | 2 a | 3 a | 5 a | 10 a | 20 a | 30 a | 50 a | 100 a |
| min          | Std | ± %              | ± % | ± % | ± % | ± %  | ± %  | ± %  | ± %  | ± %   |
| 5            |     | 29               | 30  | 30  | 31  | 31   | 32   | 32   | 33   | 33    |
| 10           |     | 30               | 31  | 31  | 32  | 33   | 33   | 34   | 34   | 34    |
| 15           |     | 30               | 31  | 31  | 32  | 33   | 34   | 34   | 34   | 35    |
| 20           |     | 29               | 31  | 31  | 32  | 33   | 33   | 34   | 34   | 35    |
| 30           |     | 29               | 30  | 30  | 31  | 32   | 33   | 33   | 33   | 34    |
| 45           |     | 27               | 28  | 29  | 30  | 31   | 31   | 32   | 32   | 33    |
| 60           | 1   | 26               | 27  | 28  | 29  | 30   | 30   | 31   | 31   | 31    |
| 90           | 1,5 | 25               | 26  | 27  | 27  | 28   | 29   | 29   | 29   | 30    |
| 120          | 2   | 24               | 25  | 25  | 26  | 27   | 27   | 28   | 28   | 29    |
| 180          | 3   | 22               | 24  | 24  | 25  | 25   | 26   | 26   | 27   | 27    |
| 240          | 4   | 22               | 23  | 23  | 24  | 25   | 25   | 26   | 26   | 26    |
| 360          | 6   | 22               | 22  | 23  | 23  | 24   | 25   | 25   | 25   | 26    |
| 540          | 9   | 22               | 23  | 23  | 23  | 24   | 24   | 25   | 25   | 25    |
| 720          | 12  | 23               | 23  | 24  | 24  | 24   | 25   | 25   | 25   | 26    |
| 1080         | 18  | 25               | 25  | 25  | 25  | 26   | 26   | 26   | 26   | 27    |
| 1440         | 24  | 27               | 27  | 27  | 27  | 27   | 27   | 27   | 27   | 28    |
| 2880         | 48  | 32               | 31  | 31  | 31  | 31   | 31   | 31   | 31   | 31    |
| 4320         | 72  | 35               | 35  | 34  | 34  | 34   | 34   | 34   | 34   | 34    |
| 5760         | 96  | 38               | 37  | 37  | 37  | 37   | 37   | 37   | 37   | 37    |
| 7200         | 120 | 40               | 39  | 39  | 39  | 39   | 39   | 39   | 39   | 39    |
| 8640         | 144 | 42               | 41  | 41  | 41  | 40   | 40   | 40   | 40   | 40    |
| 10080        | 168 | 43               | 43  | 42  | 42  | 42   | 42   | 42   | 42   | 42    |

### Parameter für abweichende T und D

#### Lokationsparameter $\xi$ (Xi)

20,69159821

#### Skalenparameter $\alpha$ (Alpha)

7,15699477

#### Formparameter $\kappa$ (Kappa)

-0,1

#### 1. Koutsoyiannis-Parameter $\theta$ (Theta)

0,01425996

#### 2. Koutsoyiannis-Parameter $\eta$ (Eta)

0,66177238

Parameter für dauerstufenübergreifende Extremwertschätzung nach KOUTSOYIANNIS et al. 1998.

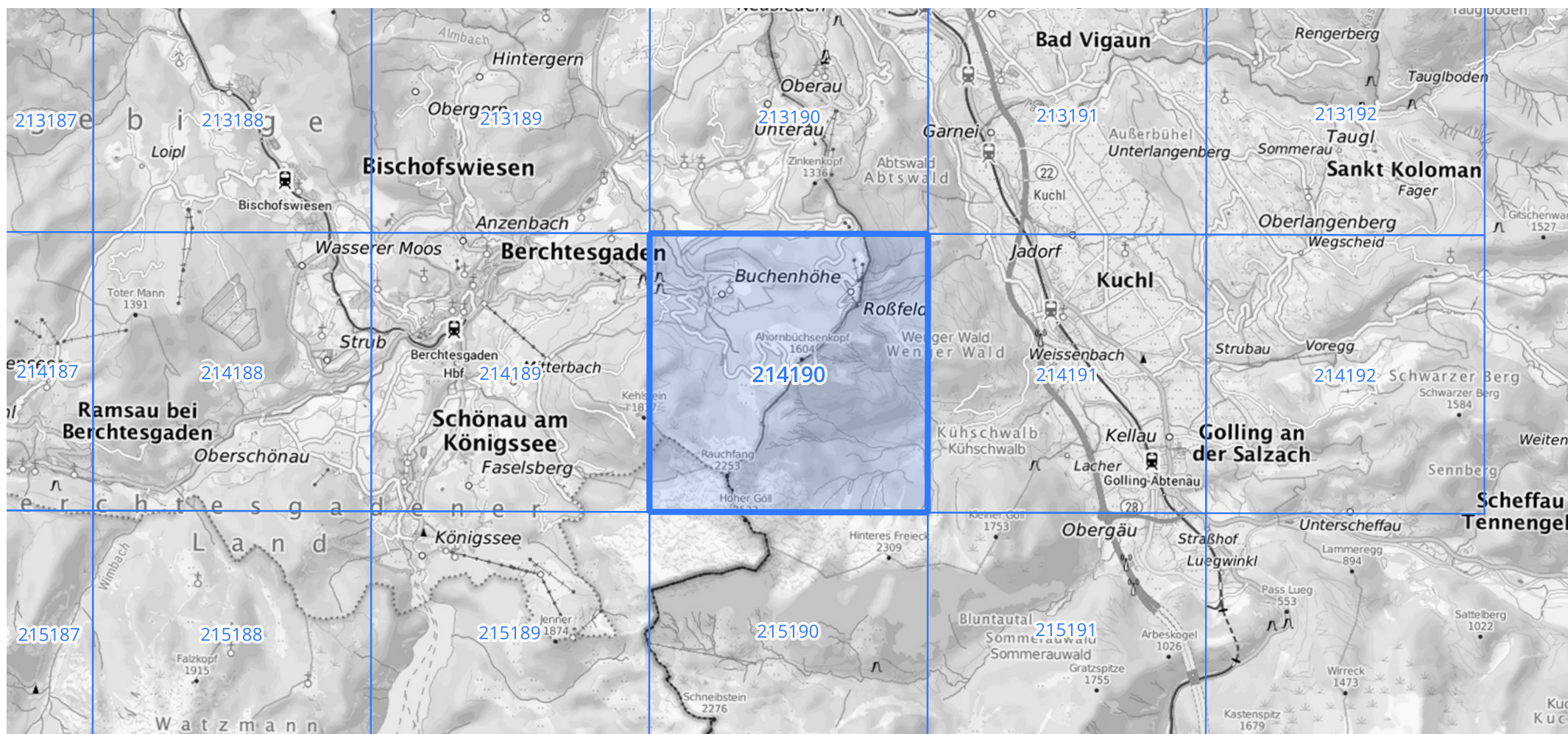
Siehe auch Anwendungshilfe zu KOSTRA-DWD-2020 des Deutschen Wetterdienstes.

## Starkniederschlagshöhen und -spenden gemäß KOSTRA-DWD-2020

## Rasterfeld 214190

(Zeile 214, Spalte 190)

Übersichtskarte des Rasterfeldes 214190, M 1 : 100 000



Quelle Rasterdaten: KOSTRA-DWD-2020 des Deutschen Wetterdienstes, Stand 12/2022.

Seite 3 von 3

Kartendarstellung: © Bundesamt für Kartographie und Geodäsie (2023), Datenquellen: [https://sgx.geodatenzentrum.de/web\\_public/gdz/datenquellen/Datenquellen\\_TopPlusOpen.html](https://sgx.geodatenzentrum.de/web_public/gdz/datenquellen/Datenquellen_TopPlusOpen.html)

Für die Richtigkeit und Aktualität der Angaben wird keine Gewähr übernommen. Erstellt 01/2023.